

# 有用細菌（乳酸菌等）の全ゲノム塩基配列決定、 比較ゲノム解析および有用遺伝子の機能解明 —第4報—

*Complete sequence, comparative genomics and post-genome analysis of lactic acid bacteria  
—No. 4—*

森田英利<sup>1</sup>, 藤 英博<sup>2</sup>, 大島健志郎<sup>2</sup>, 鈴木武人<sup>1</sup>, 政岡俊夫<sup>1</sup>, 福岡秀雄<sup>1</sup>, 茅根土郎<sup>1</sup>,  
和田恭則<sup>1</sup>, 有嶋和義<sup>1</sup>, 木内明男<sup>1</sup>, 坂田亮一<sup>1</sup>, 紫野正雄<sup>1</sup>, 内藤博之<sup>1</sup>, 斎藤康秀<sup>1</sup>,  
西田利穂<sup>1</sup>, 印牧信行<sup>1</sup>, 滝沢達也<sup>1</sup>, 加藤行男<sup>1</sup>, 村上 賢<sup>1</sup>, 福山正文<sup>3</sup>, 岸川正剛<sup>3</sup>,  
久松 伸<sup>3</sup>, 吉村哲彦<sup>4</sup>, 芝 忠義<sup>2</sup>, 服部正平<sup>5</sup>

<sup>1</sup>麻布大学獣医学部, <sup>2</sup>北里大学理学部, <sup>3</sup>麻布大学健康環境科学部,

<sup>4</sup>(財)山形県企業振興公社生物ラジカル研究所, <sup>5</sup>東京大学大学院新領域創成科学研究科

Hidetoshi Morita<sup>1</sup>, Hidehiro Toh<sup>2</sup>, Okenshiro Oshima<sup>2</sup>, Tekahito Suzuki<sup>1</sup>, Toshio Masaoka<sup>1</sup>, Hideo Fukuoka<sup>1</sup>, Shiro Chinone<sup>1</sup>, Yasunori Wada<sup>1</sup>, Kazuyoshi Arishima<sup>1</sup>, Akio Kiuchi<sup>1</sup>, Ryoichi Sakata<sup>1</sup>, Masao Shino<sup>1</sup>, Hiroyuki Naito<sup>1</sup>, Yasuhide Saito<sup>1</sup>, Toshiho Nishita<sup>1</sup>, Nobuyuki Kanemaki<sup>1</sup>, Tatsuya Takizawa<sup>1</sup>, Yukio Kato<sup>1</sup>, Masaru Murakami<sup>1</sup>, Masafumi Fukuyama<sup>3</sup>, Seigo Kishikawa<sup>3</sup>, Shin Hisamatsu<sup>3</sup>, Tetsuhiko Yoshimura<sup>4</sup>, Tadayoshi Shiba<sup>2</sup> and Masahira Hattori<sup>5</sup>

<sup>1</sup> School of Veterinary Medicine, Azabu University, <sup>2</sup> School of Science, Kitasato University,

<sup>3</sup> School of Environmental Health Sciences, Azabu University,

<sup>4</sup> Institute for Life Support Technology, Yamagata Public Corporation for the Development of Industry,

<sup>5</sup> Graduate School of Frontier Sciences, University of Tokyo

---

**Abstract.** We determined the complete genome sequences of *Lactobacillus reuteri* JCM 1112<sup>T</sup>, *Lactobacillus fermentum* IFO 3956, *Lactococcus garvieae* (a toxic strain for yellowtail), *Lactococcus garvieae* (a non-toxic strain for yellowtail) and *Lactobacillus rhamnosus*. The genome analysis of *Bifidobacterium breve*, *Bifidobacterium bifidum* and *Bifidobacterium catenulatum* is on going. Probiotics are live microorganisms that confer health benefits on the host. The probiotic *L. reuteri* and non-probiotic *L. fermentum* are phylogenetically closest to *L. reuteri* in the *Lactobacillus*. To elucidate the molecular basis on the probiotic property exhibited by *L. reuteri*, comparative analysis of both genomes showed that *L. reuteri* harbored the unique 48 kb genomic island containing the genes necessary for the biosynthesis of a reactive 3-hydroxypropionaldehyde (reuterin), which may influence the microflora balance in the gut. We identified three genes (LR1633-LR1635) with a glycerol dehydratase subunit motif (PFAM PF02286-PF02288) in the *L. reuteri* genome. These genes are designated *gupCDE* (glycerol utilizing enzymes) in this study. The *gupCDE* knock-out *L. reuteri* (*L. reuteri* Δ *gupCDE*) was obtained, and the reuterin synthesis will be conducted by glycerol dehydratase in the glycerol metabolism *in vivo* by the gnotobiotic mice mono-associated with *L. reuteri* and *L. reuteri* Δ *gupCDE*.

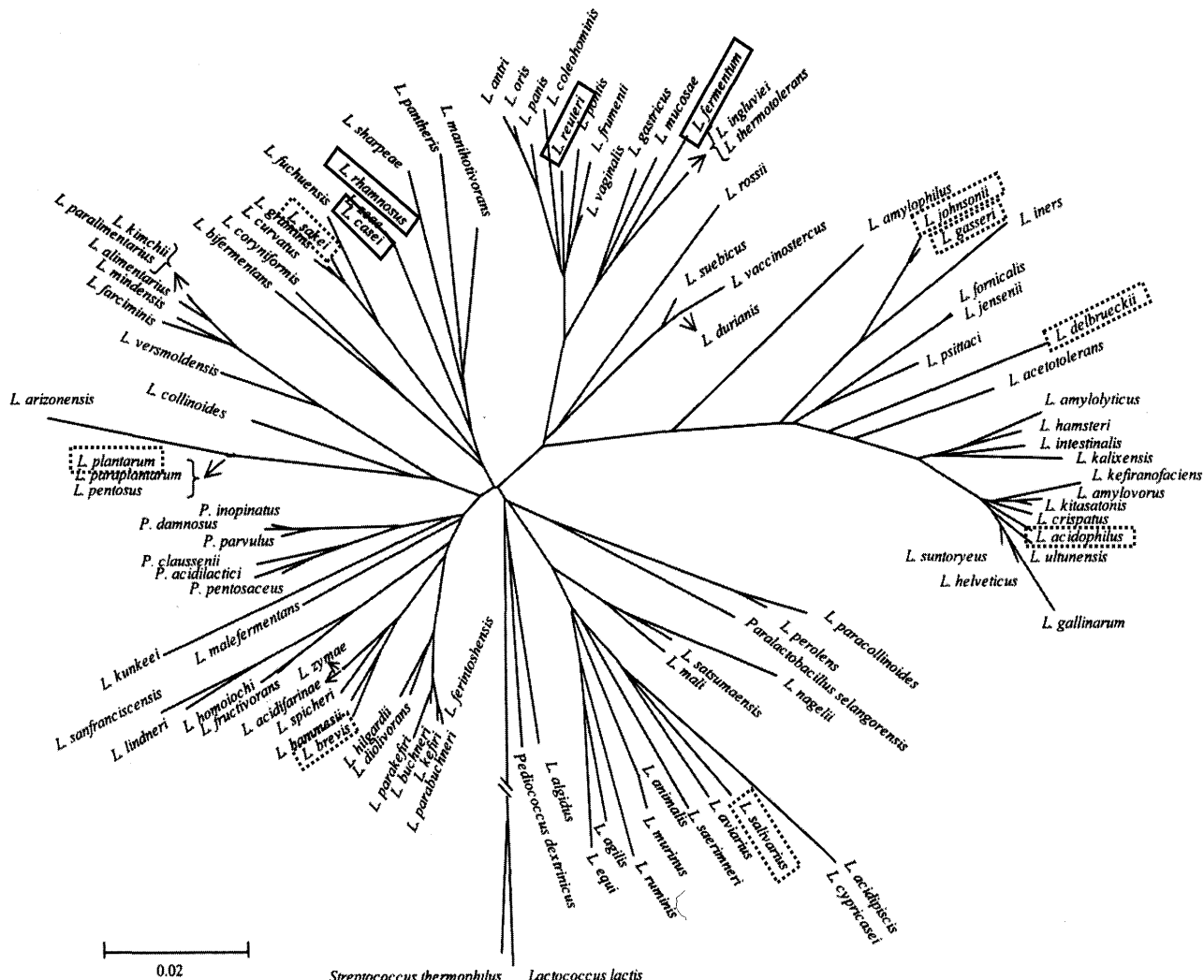
## 1. 目 的

1つの生命体の全ゲノムの配列決定することは、費用もかかり労力も要するが確実に遂行されている。1995年にインフルエンザウイルスの全ゲノム配列が決定されて以来、動物、植物、昆虫をはじめとして、微生物である細菌では数多くの全ゲノム配列が公開されてきた。それらの情報は、リアルタイムで更新されている国際DNAデータベース（DDBJ/EMBL/GenBank：<http://gib.genes.nig.ac.jp/>）から得ることができる。利権確保や秘密保持の関係から、ゲノム配列が非公開にされている微生物、また未解読部分を含むほとんどの遺伝子が把握できるドラフト段階まで配列決定された微生物まで考えると、その数は相

当数にのぼるものと思われる。非公開のゲノム情報は内部情報であり、公知でないため学術的に利用できる状況にない。

乳酸菌・ビフィズス菌に対する研究の方向性は、従来からの工業的な利用や発酵食品への有効利用に加え、近年ではプロバイオティクスの考えに基づく、機能性食品・特定保健用食品そして医療に、乳酸菌・ビフィズス菌の機能を応用しようという試みがなされている。2006年には乳酸菌の一種である *Lactobacillus* 属は 135 菌種、ビフィズス菌である *Bifidobacterium* 属は 29 菌種が提唱されている記載のない菌種もあるが、そのほとんどを示した両属の系統樹は Fig. 1 と Fig. 2 のとおりである<sup>1)</sup>。

本プロジェクトでは、数多くの *lactobacilli* と



**Fig. 1** Phylogenetic tree based on 16S rRNA gene sequence analysis, depicting the phylogenetic relationship among species of the genus *Lactobacillus*. The tree is representative of different trees obtained with distance matrix and maximum likelihood analysis. Bar indicates number of nucleotide substitution per site.

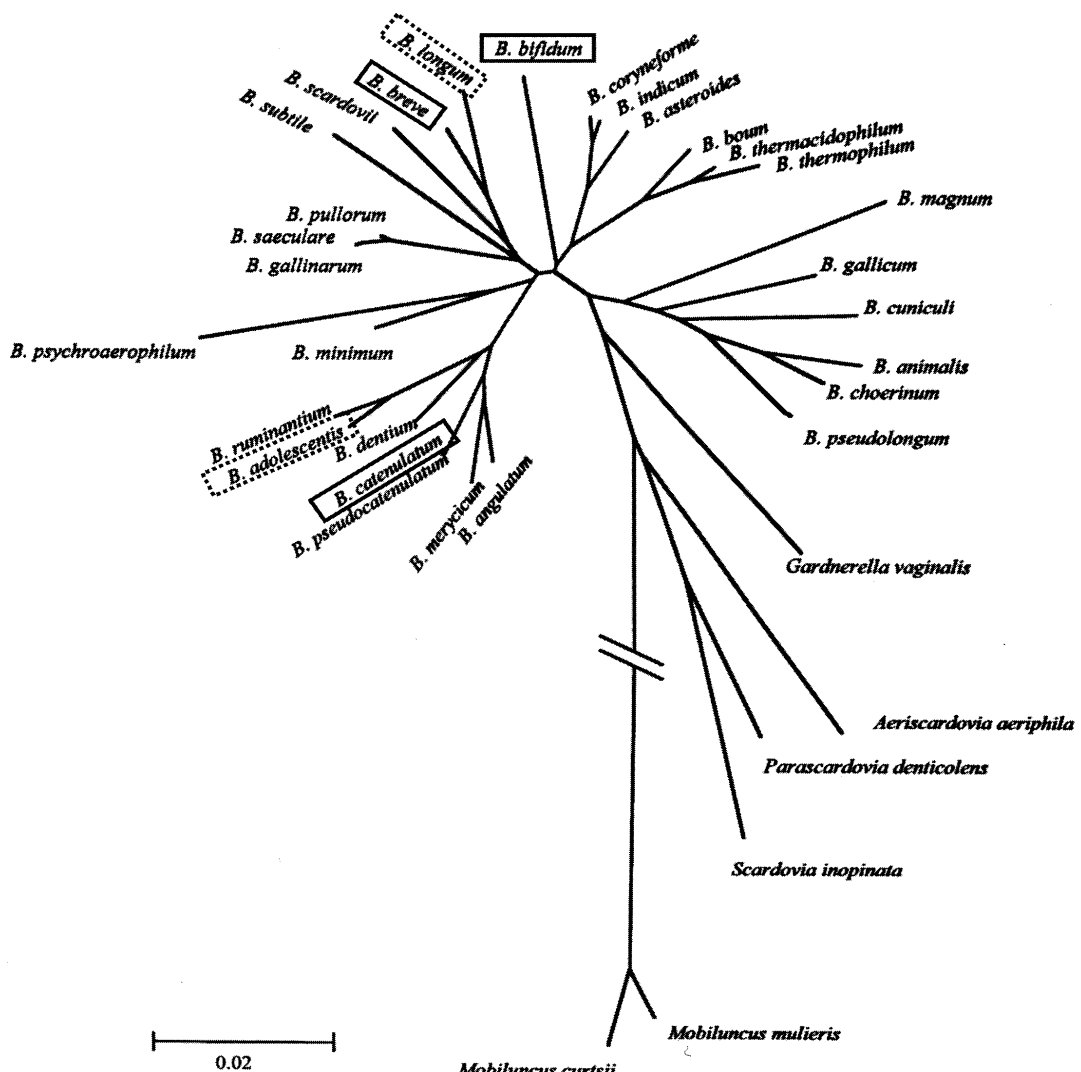


Fig. 2 Phylogenetic tree based on 16S rRNA gene sequence analysis, depicting the phylogenetic relationship among species of the genus *Bifidobacterium*. The tree is representative of different trees obtained with distance matrix and maximum likelihood analysis. Bar indicates number of nucleotide substitution per site.

bifidobacteriaの中から菌種を選択して、全ゲノム解析を行った。そのゲノム配列から、その菌株のもつ性状や機能を明らかにすることを目的とする。

一方、*Lactobacillus reuteri* JCM 1112<sup>T</sup>と*Lactobacillus fermentum* IFO 3956については、比較ゲノム解析からオルソログはほとんど共通していた。しかし、*L. reuteri* JCM 1112<sup>T</sup>においてのみ、グリセロールから抗菌性物質であるロイテリン産生系は *pdu* オペロンの *pduCDE*<sup>2)</sup> にコードされていることを確認した。*Salmonella enterica*<sup>2)</sup> では glycerol を代謝すると dehydratase 活性が 1 度で不活化するのに対し、*L. reuteri* では、glycerol を連続代謝しても

dehydratase 活性が維持される。そこで *L. reuteri* の glycerol dehydratase 遺伝子 (EC.4.2.1.30) は、本研究では *pduCDE* と区別して *gupCDE* (glycerol utilizing enzyme in *pdu* operon) と命名し、*L. reuteri* JCM 1112<sup>T</sup> の *gupCDE* 遺伝子破壊株 (*L. reuteri*  $\Delta$  *gupCDE*) を作出了。

## 2. 方 法

2006年11月現在、全ゲノム情報が公開されている lactobacilli と bifidobacteria を Table 1 にまとめた。本プロジェクトでは、それ以外の菌種を選択しそれらの全ゲノム解析を進めた。

Table 1 Complete genome sequence of lactobacilli, lactococci and bifidobacteria

Species	Strain	Accession No.	Reference
<i>Lactobacillus plantarum</i>	WCFS1	AL935263	5
<i>Lactobacillus johnsonii</i>	NCC533	AE017198	6
<i>Lactobacillus acidophilus</i>	NCFM	CP000033	7
<i>Lactobacillus sakei</i> subsp. <i>sakei</i>	23K	CR936503	8
<i>Lactobacillus delbrueckii</i> subsp. <i>bulgaricus</i>	ATCC11842	CR954253	9
<i>Lactobacillus salivarius</i> subsp. <i>salivarius</i>	UCC118	CP000233	10
<i>Lactobacillus delbrueckii</i> subsp. <i>bulgaricus</i>	ATCC BAA-365	CP000412.1	11
<i>Lactobacillus gasseri</i>	ATCC 33323	CP000413.1	11
<i>Lactobacillus brevis</i>	ATCC 367	CP000416.1	11
<i>Lactobacillus casei</i>	ATCC 334	CP000423.1	11
<i>Lactobacillus reuteri</i>	JCM 1112 <sup>T</sup>	(finishing)	This study
<i>Lactobacillus fermentum</i>	IFO 3956	(finishing)	This study
<i>Lactobacillus rhamnosus</i>	---	(finishing)	This study
<i>Lactococcus garvieae</i> (non-toxic strain for yellowtail)	---	(finishing)	This study
<i>Lactococcus garvieae</i> (toxic strain for yellowtail)	---	(finishing)	This study
<i>Bifidobacterium longum</i>	NCC2705	AE014295	12
<i>Bifidobacterium adolescentis</i>	ATCC 15703	AP009256	In press**)
<i>Bifidobacterium breve</i>	---	(on going)	This study
<i>Bifidobacterium bifidum</i>	---	(on going)	This study
<i>Bifidobacterium catenulatum</i>	---	(on going)	This study

\*) Including on going project.

\*\*) Suzuki, et al. of Gifu University, personal communication.

供試菌株の染色体DNAを精製後、約2.0 kbと約10 kbのゲノムライブラーを構築した。各クローンに対して、コロニーダイレクトPCRを行い、キャビラリーDNAシークエンサー(Amersham Biosciences社)を用いて解析を行った。得られたデータは、Phred/Phrapによるアッセンブルと、アノテーションはGenomeGambler(MKI社)などのソフトにより行った。

*L. reuteri*のglycerol dehydratase活性は、Yamanishi et al.<sup>3)</sup>の方法で測定した。また、pIL253のエリスロマイシン遺伝子を用いたdouble crossoverのシステム<sup>4)</sup>により*L. reuteri*  $\Delta$ gupCDEを作出し、得られた形質転換体が、PCR法とロイテリン產生能により*L. reuteri*  $\Delta$ gupCDE株であることを確認した。

### 3. 結果と考察

Table 1のとおり、本プロジェクトでは、*L. reuteri* JCM 1112<sup>T</sup>、*L. fermentum* IFO 3956、*Lactococcus garvieae* (ブリに対する毒性株)、*Lactococcus garvieae* (ブリに対する無毒株) および*Lactobacillus rhamnosus* の全ゲノム解析を完了した。*L. reuteri*

JCM 1112<sup>T</sup>と*L. fermentum* IFO 3956はデータベースに登録を完了し、他の3菌株については、アノテーション(遺伝子推定)している状況である。そして、*Bifidobacterium breve*、*Bifidobacterium bifidum*、*Bifidobacterium catenulatum*については、ゲノム解析中である。

*L. reuteri* JCM 1112<sup>T</sup>と*L. fermentum* IFO 3956のゲノム解析をした理由は、*L. reuteri* JCM 1112<sup>T</sup>のもつプロバイオティクス効果を明らかにすることである。*L. reuteri* JCM 1112<sup>T</sup>のORFs数は1,820であり、そのほとんどは*L. fermentum* IFO 3956のオルソログと一致した。両者の違いは、*L. reuteri* JCM 1112<sup>T</sup>のみ、ロイテリン合成系(*pdu*オペロン)、ビタミンB<sub>12</sub>合成系(*cob/cbi/hem*オペロン)、免疫賦活に関与すると思われる*dlt*遺伝子群、そして付着因子のcell wall binding repeat(CWBR)を6つ有することであった。

Table 2に、glycerol dehydratase活性を測定した結果を示した。*L. reuteri* JCM 1112<sup>T</sup>の菌体破碎液では250 unit/wet gであった。そして、*gupC*、*gupD*、*gupE*そして*gupCDE*をクローニングし*E. coli*に導入、glycerol dehydratase活性を測定したところ、

Table 2 The glycerol dehydratase activity in *E. coli* of DNA cloned from *L. reuteri* JCM 1112<sup>T</sup>

Cell extract	Insert DNA <sup>a</sup>	Recipient	Medium	Glycerol dehydratase activity (units / wet g) <sup>b</sup>
Control	No insert	BL21 (DE3) RIL	LB broth	< 0.1
Clone 1	gupCDE of <i>L. reuteri</i>	BL21 (DE3) RIL	LB broth	4.97±1.11
Clone 2	gupC of <i>L. reuteri</i>	BL21 (DE3) RIL	LB broth	< 0.1
Clone 3	gupD of <i>L. reuteri</i>	BL21 (DE3) RIL	LB broth	< 0.1
Clone 4	gupE of <i>L. reuteri</i>	BL21 (DE3) RIL	LB broth	< 0.1
<i>L. reuteri</i>	—	—	MRS broth	250

- a) The recombinant plasmid was constructed by cloning the fragments amplified by PCR from *L. reuteri* JCM 1112<sup>T</sup> genomic DNA into a vector pET101/D-TOPO (Invitrogen Co.), and the insert was confirmed by DNA sequencing. The cloning step was performed in Chemically Competent *E. coli* TOP10 (Invitrogen Co.) and the expression experiments were conducted in *E. coli* BL21-CodonPlus (DE3)-RIL Competent Cells (Stratagene Co.) in the presence of isopropyl 1-thio-β-D-galactoside (IPTG).
- b) The cell extracts were prepared in a total volume of 1.0 ml solution containing 0.2 M glycerol 0.05 M KCl, 0.035 M phosphor-potassium buffer (pH 8.0) and 15 μM adenosylcobalamine. The dehydratase activity was determined at 37°C for 10 min by the 3-methyl-2-benzothiazolinonehydrazone (MBTH) method by Yamanishi et al. [2]. The activity of all clones was obtained from the same experiments performed 3 times. All experiments were performed using the DNA cloned in pET101 except the experiment for *L. reuteri* JCM 1112<sup>T</sup>.

*gupC*, *gupD*, *gupE*にはglycerol dehydratase活性が認められなかった。そして、*gupCDE*をクローニングした場合のみ、glycerol dehydratase活性を確認した。すなわち、glycerol dehydratase活性は、3つのたんぱく質で機能していること、そして分子量の測定から、3つのたんぱく質が各2量体で構築された酵素（たんぱく質）であることが推定された。

次に、double crossoverのシステム<sup>4)</sup>、すなわち、連続した*gupCDE*遺伝子配列+その両端約2 kbの配列を、*E. coli*で複製可能なベクターにクローニングした。そして、*gupCDE*遺伝子配列の中に、lactobacilliで機能するエリスロマイシン耐性遺伝子を組み込んだ。この構築プラスミドで、*L. reuteri*を形質転換し、エリスロマイシン耐性株を得た。

single crossoverでも、エリスロマイシン耐性は機能するが、*gupCED*遺伝子は破壊されていない。そこで、Fig. 3には、PCRによりsingle crossover株か、double crossover株かを確認したアガロースゲル電気泳動図を示した。DNA配列よりsingle crossoverの場合は、PCR增幅により15,366 bp, 7,555 bp, 5,138 bpの3本のバンドが現れる。その形質転換体を、液体培地で数回の継代後、再度PCRで確認した。この継代株からは、PCR增幅で5,138 bpの1本のバンドし

か見られなくなった。このことから、double crossoverの現象が起こり *L. reuteri* Δ *gupCDE*株の候補であることが認められた。

次に、Δ *gupCDE*のPCR産物である5,138 bp断片を *Hind* IIIで消化した場合、切断部位がないので5,138 bpのままであるが、*EcoR* Iで消化した場合は、2,329 bp, 1,632 bp, 1,177 bpの3本のバンドに切断される。Fig. 4の右側には *Hind* IIIで消化したPCR断片、左側には *EcoR* Iで消化したPCR断片のアガロースゲル電気泳動図を示した。得られたPCR産物は *Hind* IIIで消化できないことが認められ、*EcoR* Iで消化した場合は6本のバンドが検出された（Fig. 4の左側）。未消化の断片を含んでいるが、6本のバンドの中に2,329 bp, 1,632 bp, 1,177 bpの断片を確認できるので、*L. reuteri* Δ *gupCDE*株が得られていた。*L. reuteri* Δ *gupCDE*株は3つの菌株を得て、それぞれの培養液中のロイテリン量を確認したが、すべての菌株でロイテリンはまったく産生されなかった。今後、この遺伝子破壊株のノトバイオート（モノアイソレート）マウスを作出し、プロバイオティクス効果の *in vivo*での解明を予定している。

*lactobacilli*と**bifidobacteria**のゲノム解析が進む理由は、①工業上の利用性を高めるために *lactobacilli*と

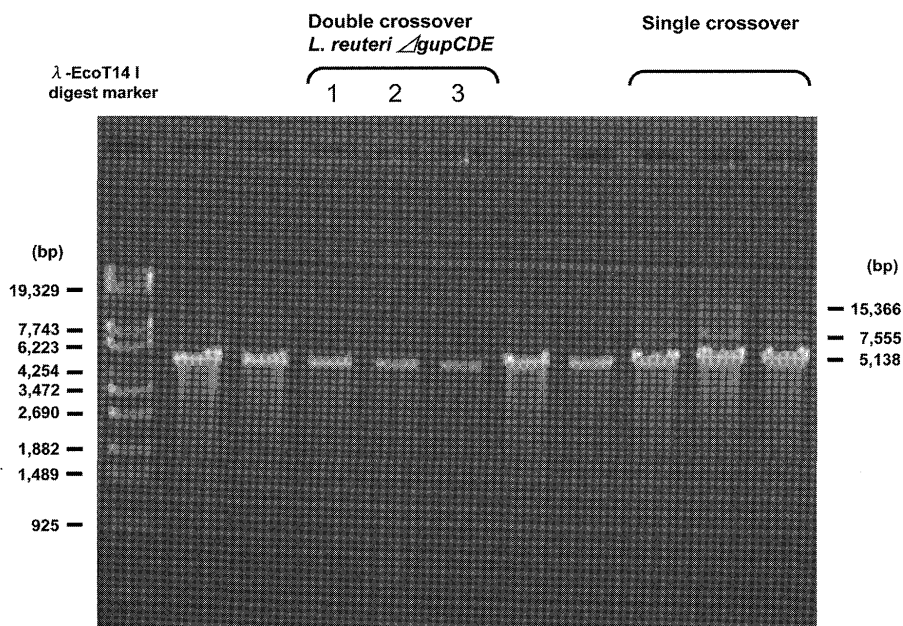


Fig. 3 Agarose gel electrophoresis of PCR products of *gupCDE* gene in *L. reuteri* genome for elucidating a double-crossover event of a integration system.

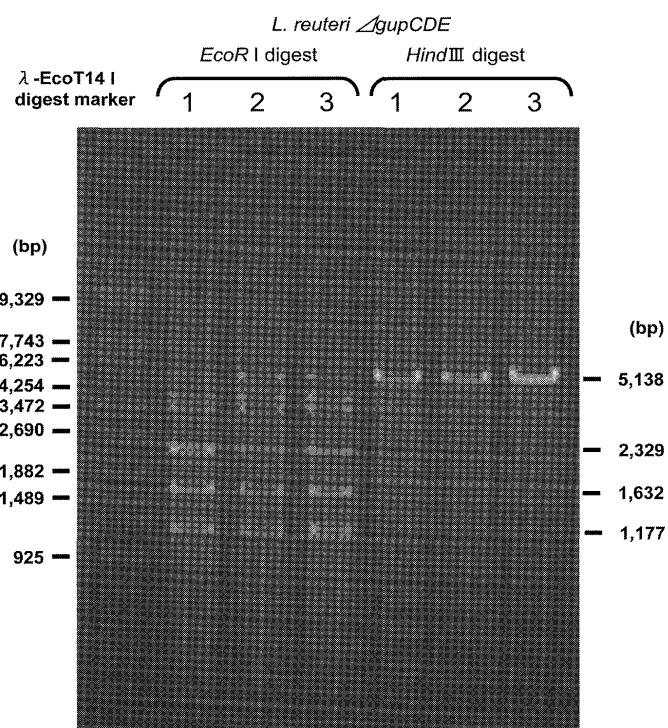


Fig. 4 Agarose gel electrophoresis of *EcoR* I or *Hind* III digested PCR products of  $\Delta$  *gupCDE* gene in *L. reuteri* genome.

bifidobacteria の培養条件や生態を解明するため、② lactobacilli と bifidobacteria が安全である証明のため、③ lactobacilli と bifidobacteria の有用機能を明確にし、ニュートリゲノミクスに対する乳酸菌側のゲノム情

報提供のためである<sup>13)</sup>。今後、lactobacilli と bifidobacteria のゲノム情報は、プロバイオティクスを科学的に証明していく上で、有効な基礎的知見になると考えられる。

#### 4. 要 約

我々は、*Lactobacillus reuteri* JCM 1112<sup>T</sup>, *Lactobacillus fermentum* IFO 3956, *Lactococcus garvieae* (ブリに対する毒性株), *Lactococcus garvieae* (ブリに対する無毒株) および *Lactobacillus rhamnosus* の全ゲノム解析を完了した。そして、*Bifidobacterium breve*, *Bifidobacterium bifidum* および *Bifidobacterium catenulatum* については、全ゲノム配列を決定中である。プロバイオティクスとは、“宿主の健康に対して貢献する生きた微生物”と定義付けられている。本プロジェクトでは、*L. reuteri* のプロバイオティクス効果を分子レベルで解明することを目的としている。そこで、分類学的に *L. reuteri* と近縁であるにもかかわらず、プロバイオティクス効果のほとんど認められない *L. fermentum* についても全ゲノム解析を行った。両菌種の比較ゲノム解析の結果、*L. reuteri* のゲノムには、抗菌物質であるロイテリン合成系にかかる遺伝子の 48 kb の “genomic island” を有しており、哺乳動物の腸内フローラバランスに良い影響を及ぼしていると推察された。我々は、glycerol dehydratase subunit motif (PFAM PF02286-PF02288) として、*L. reuteri* ゲノムに 3 つの遺伝子 (LR1633-LR1635) を検出し、*gupCDE* (glycerol utilizing enzymes) と命名した。本研究では、その *gupCDE* 遺伝子破壊候補株 (*L. reuteri* △ *gupCDE*) を得て、PCR 解析や glycerol dehydratase 酵素活性などから、*L. reuteri* △ *gupCDE* を認めた。今後、親株 (*L. reuteri* JCM 1112<sup>T</sup> 株) と *L. reuteri* △ *gupCDE* のそれぞれノトバイオート (モノアイソレート) マウスを解析して、プロバイオティクス効果を明らかにしていく予定である。

#### 文 献

- 1) Dellaglio, F. and Felis, G.E., Taxonomy of lactobacilli and bifidobacteria, in Probiotics & Prebiotics: Scientific Aspects, edited by Tannock, G. W., p.25-p.49, Caister Academic Press, Norfolk, UK (2005).
- 2) McClelland, M. et al. Complete genome sequence of *Salmonella enterica* serovar Typhimurium LT2. *Nature* 413, 852-856 (2001).
- 3) Yamanishi M. et al., The crystal structure of coenzyme B<sub>12</sub>-dependent glycerol dehydratase in complex with cobalamin and propane-1,2-diol. *Eur. J. Biochem.*, 269, 4484-4494 (2002).
- 4) Sasaki Y, Ito Y, Sasaki T., ThyA as a selection marker in construction of food-grade host-vector and integration systems for *Streptococcus thermophilus*. *Appl. Environ. Microbiol.*, 70, 1858-64 (2004).
- 5) Kleerebezem, M. et al. Complete genome sequence of *Lactobacillus plantarum* WCFS1. *Proc. Natl. Acad. Sci. USA* 100, 1990-1995 (2003).
- 6) Pridmore, R.D. et al. The genome sequence of the probiotic intestinal bacterium *Lactobacillus johnsonii* NCC 533. *Proc. Natl. Acad. Sci. USA* 101, 2512-2517 (2004).
- 7) Altermann, E. et al. Complete genome sequence of the probiotic lactic acid bacterium *Lactobacillus acidophilus* NCFM. *Proc. Natl. Acad. Sci. USA* 102, 3906-3912 (2005).
- 8) Chaillou, S. et al. The complete genome sequence of the meat-borne lactic acid bacterium *Lactobacillus sakei* 23K. *Nat. Biotechnol.* 23, 1527-1533 (2005).
- 9) van de Guchte, M. et al. The complete genome sequence of *Lactobacillus bulgaricus* reveals extensive and ongoing reductive evolution. *Proc. Natl. Acad. Sci. U S A* 103, 9274-9279 (2006).
- 10) Claesson, M.J. et al. Multireplicon genome architecture of *Lactobacillus salivarius*. *Proc. Natl. Acad. Sci. USA* 103, 6718-6723 (2006).
- 11) Makarova, K. et al. Comparative genomics of the lactic acid bacteria. *Proc. Natl. Acad. Sci. USA* 103, 15611-15616 (2006).
- 12) Schell, M.A. et al., The genome sequence of *Bifidobacterium longum* reflects its adaptation to the human gastrointestinal tract. *Proc. Natl. Acad. Sci. U.S.A.* 99, 14422-14427 (2002).
- 13) 森田英利, 乳酸菌のゲノム解析について, (社)全国はつ酵乳乳酸菌飲料協会ホームページ,  
<http://www.nyusankin.or.jp/>